



Großwetterlage

Januar 2019

erstellt durch die Vorhersage- und Beratungszentrale, Offenbach
Ausgabe: 28.02.2019

Zonale Zirkulation

W * Bei der jahreszeitlichen Summenbildung werden zum Winter die Monate Januar, Februar und Dezember des gleichen Kalenderjahres addiert!

| | Nr. | GW zählt als | Jan. | Feb. | W * | März | April | Mai | F | Juni | Juli | Aug. | S | Sept. | Okt. | Nov. | H | Dez. | Jahr | | | | |
|--------------------|-----|--------------------|----------|----------|----------|----------|----------|----------|----------|----------|----------|----------|----------|----------|----------|----------|----------|----------|----------|---|---|---|---|
| Wa | 1 | a | - | - | | - | - | - | | - | - | - | | - | - | - | | - | | | | | |
| Wz | 2 | z | - | - | | - | - | - | | - | - | - | | - | - | - | | - | | - | - | - | - |
| Ws | 3 | z | - | - | | - | - | - | | - | - | - | | - | - | - | | - | | - | - | - | - |
| Ww | 4 | z | - | - | | - | - | - | | - | - | - | | - | - | - | | - | | - | - | - | - |
| W (GT) | | | 0 | 0 | 0 | 0 | 0 | 0 | 0 | 0 | 0 | 0 | 0 | 0 | 0 | 0 | 0 | 0 | 0 | | | | |
| zonale Zirkulation | | | 0 | 0 | 0 | 0 | 0 | 0 | 0 | 0 | 0 | 0 | 0 | 0 | 0 | 0 | 0 | 0 | 0 | | | | |

Gemischte Zirkulation

W * Bei der jahreszeitlichen Summenbildung werden zum Winter die Monate Januar, Februar und Dezember des gleichen Kalenderjahres addiert!

| | Nr. | GW zählt als | Jan. | Feb. | W * | März | April | Mai | F | Juni | Juli | Aug. | S | Sept. | Okt. | Nov. | H | Dez. | Jahr |
|-----------------------|-----|--------------------|-----------|----------|-----------|----------|----------|----------|----------|----------|----------|----------|----------|----------|----------|----------|----------|----------|-----------|
| SWa | 5 | H+a | - | - | | - | - | - | | - | - | - | | - | - | - | | - | |
| SWz | 6 | z | - | - | | - | - | - | | - | - | - | | - | - | - | | - | |
| SW (GT) | | | 0 | 0 | 0 | 0 | 0 | 0 | 0 | 0 | 0 | 0 | 0 | 0 | 0 | 0 | 0 | 0 | 0 |
| NWa | 7 | a | 5 | - | | - | - | - | | - | - | - | | - | - | - | | - | |
| NWz | 8 | z | 7 | - | | - | - | - | | - | - | - | | - | - | - | | - | |
| NW (GT) | | | 12 | 0 | 12 | 0 | 0 | 0 | 0 | 0 | 0 | 0 | 0 | 0 | 0 | 0 | 0 | 0 | 12 |
| HM | 9 | H+a | - | - | | - | - | - | | - | - | - | | - | - | - | | - | |
| BM | 10 | H+a | 4 | - | | - | - | - | | - | - | - | | - | - | - | | - | |
| HM (GT) | | | 4 | 0 | 4 | 0 | 0 | 0 | 0 | 0 | 0 | 0 | 0 | 0 | 0 | 0 | 0 | 0 | 4 |
| TM (GT) | 11 | T+z | - | - | 0 | - | - | - | 0 | - | - | - | 0 | - | - | - | 0 | - | 0 |
| gemischte Zirkulation | | | 16 | 0 | 16 | 0 | 0 | 0 | 0 | 0 | 0 | 0 | 0 | 0 | 0 | 0 | 0 | 0 | 0 |

Meridiane Zirkulation

W * Bei der jahreszeitlichen Summenbildung werden zum Winter die Monate Januar, Februar und Dezember des gleichen Kalenderjahres addiert!

| | Nr. | GW zählt als | Jan. | Feb. | W * | März | April | Mai | F | Juni | Juli | Aug. | S | Sept. | Okt. | Nov. | H | Dez. | Jahr | | | | |
|------------------------------|-----|--------------------|-----------|----------|-----------|----------|----------|----------|----------|----------|----------|----------|----------|----------|----------|----------|----------|----------|-----------|----------|----------|----------|----------|
| Na | 12 | a | - | - | 12 | - | - | - | 0 | - | - | - | 0 | - | - | - | 0 | - | 12 | | | | |
| Nz | 13 | z | 3 | - | | - | - | - | | - | - | - | | - | - | - | | - | | - | - | - | - |
| HNa | 14 | a | - | - | | - | - | - | | - | - | - | | - | - | - | | - | | - | - | - | - |
| HNz | 15 | T+z | - | - | | - | - | - | | - | - | - | | - | - | - | | - | | - | - | - | - |
| HB | 16 | a | 3 | - | | - | - | - | | - | - | - | | - | - | - | | - | | - | - | - | - |
| TrM | 17 | T+z | 6 | - | | - | - | - | | - | - | - | | - | - | - | | - | | - | - | - | - |
| N (GT) | | | 12 | 0 | | | 0 | 0 | | 0 | 0 | 0 | | 0 | 0 | 0 | | 0 | | 0 | 0 | 0 | 0 |
| NEa | 18 | H+a | - | - | 12 | - | - | - | 0 | - | - | - | 0 | - | - | - | 0 | - | 12 | | | | |
| NEz | 19 | T+z | - | - | | - | - | - | | - | - | - | | - | - | - | | - | | - | - | - | - |
| HFa | 20 | H+a | - | - | | - | - | - | | - | - | - | | - | - | - | | - | | - | - | - | - |
| HFz | 21 | T+z | - | - | | - | - | - | | - | - | - | | - | - | - | | - | | - | - | - | - |
| HNFa | 22 | H+a | - | - | | - | - | - | | - | - | - | | - | - | - | | - | | - | - | - | - |
| HNFz | 23 | T+z | - | - | | - | - | - | | - | - | - | | - | - | - | | - | | - | - | - | - |
| SEa | 24 | H+a | - | - | | - | - | - | | - | - | - | | - | - | - | | - | | - | - | - | - |
| SEz | 25 | T+z | - | - | | - | - | - | | - | - | - | | - | - | - | | - | | - | - | - | - |
| E (GT) | | | 0 | 0 | 0 | 0 | 0 | 0 | 0 | 0 | 0 | 0 | 0 | 0 | 0 | 0 | 0 | 0 | 0 | | | | |
| Sa | 26 | H+a | - | - | 12 | - | - | - | 0 | - | - | - | 0 | - | - | - | 0 | - | 12 | | | | |
| Sz | 27 | z | - | - | | - | - | - | | - | - | - | | - | - | - | | - | | - | - | - | - |
| TB | 28 | z | 3 | - | | - | - | - | | - | - | - | | - | - | - | | - | | - | - | - | - |
| TrW | 29 | z | - | - | | - | - | - | | - | - | - | | - | - | - | | - | | - | - | - | - |
| S (GT) | | | 3 | 0 | | 3 | 0 | 0 | | 0 | 0 | 0 | | 0 | 0 | 0 | | 0 | | 0 | 0 | 0 | 0 |
| meridiane Zirkulation | | | 15 | 0 | 15 | 0 | 0 | 0 | 0 | 0 | 0 | 0 | 0 | 0 | 0 | 0 | 0 | 0 | 15 | | | | |

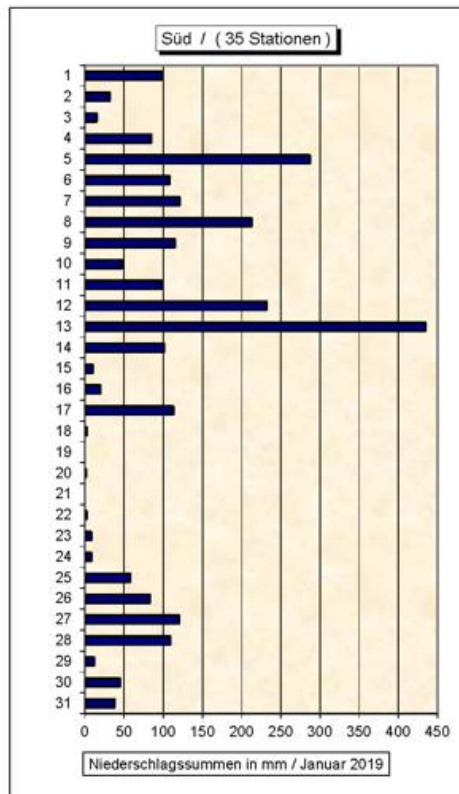
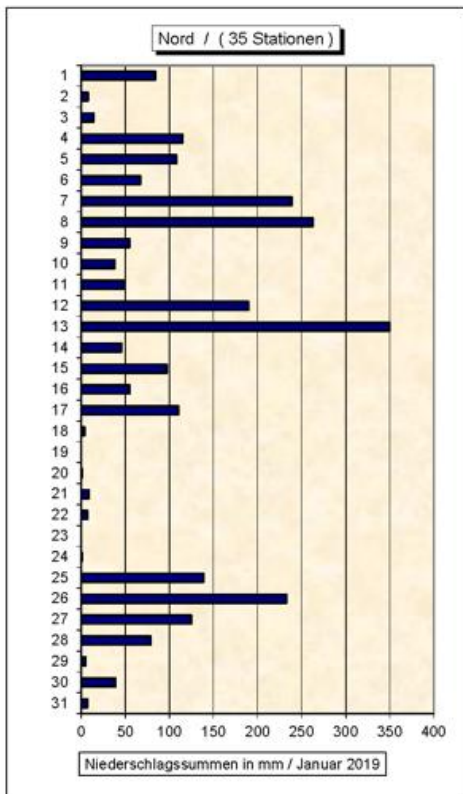
Summe

W * Bei der jahreszeitlichen Summenbildung werden zum Winter die Monate Januar, Februar und Dezember des gleichen Kalenderjahres addiert!

| | Nr. | GW zählt als | Jan. | Feb. | W * | März | April | Mai | F | Juni | Juli | Aug. | S | Sept. | Okt. | Nov. | H | Dez. | Jahr |
|----------------------------|-----|--------------------|------|------|-----|------|-------|-----|---|------|------|------|---|-------|------|------|---|------|------|
| Übergangs - lage (Tage) | | | - | - | 0 | - | - | - | 0 | - | - | - | 0 | - | - | - | 0 | - | 0 |
| Σ a | | | 12 | 0 | 12 | 0 | 0 | 0 | 0 | 0 | 0 | 0 | 0 | 0 | 0 | 0 | 0 | 0 | 12 |
| Σ z | | | 19 | 0 | 19 | 0 | 0 | 0 | 0 | 0 | 0 | 0 | 0 | 0 | 0 | 0 | 0 | 0 | 19 |
| Σ H | | | 4 | 0 | 4 | 0 | 0 | 0 | 0 | 0 | 0 | 0 | 0 | 0 | 0 | 0 | 0 | 0 | 4 |
| Σ T | | | 6 | 0 | 6 | 0 | 0 | 0 | 0 | 0 | 0 | 0 | 0 | 0 | 0 | 0 | 0 | 0 | 6 |

| GWL 2019 | GWL nach Hess & Brezowsky | Kurzbeschreibung |
|----------------------------|--------------------------------------|---|
| Dienstag, den 01. Januar | Nz | Der Einfluss eines Höhenhochs über der Biskaya schwächt sich ab, denn ein Kurzwellentrog zieht unter Verstärkung von Norwegen zur Ostsee. Dadurch strömt hinter einer Bodenkaltfront maritime Kaltluft über Deutschland und die Alpen hinweg zum Mittelmeer. Kräftige Schneefälle sind die Folge. |
| Mittwoch, den 02. Januar | Nz | |
| Donnerstag, den 03. Januar | Nz | |
| Freitag, den 04. Januar | HB | Ein Höhenkeil weitet sich vom Seegebiet westlich der Iberischen Halbinsel zu den Britischen Inseln hin aus, was dort die Bildung eines Bodenhochs stützt. Deutschland liegt am Rande dieses Hochs unter dem Zustrom recht milder, meist maritim geprägter Luftmassen. |
| Samstag, den 05. Januar | HB | |
| Sonntag, den 06. Januar | HB | |
| Montag, den 07. Januar | NWa | |
| Dienstag, den 08. Januar | NWa | Der zu den Britischen Inseln gerichtete westeuropäische Höhenkeil wird von einem vom Nordmeer kommenden markanten Randtrog überlaufen. Daher verlagert das Bodenhoch über den Britischen Inseln seinen Schwerpunkt nach Südwesten zur Biskaya. Dadurch wird der Weg frei für Randtiefs, die in einer nordwestlichen Strömung über Skandinavien und Polen hinweg zum Balkan ziehen. Ein-gelagerte Frontenzüge sorgen im Südosten Deutschlands für teils kräftige Regen- und Schneefälle. |
| Mittwoch, den 09. Januar | NWa | |
| Donnerstag, den 10. Januar | NWa | |
| Freitag, den 11. Januar | NWa | |
| Samstag, den 12. Januar | NWz | |
| Sonntag, den 13. Januar | NWz | Der westeuropäische Höhenkeil verlagert sich weiter westwärts, so dass sich ein osteuropäischer Langwellentrog noch weiter Richtung Mitteleuropa ausdehnen kann. Die bis dato dominante nordwestliche Strömung bleibt damit weiterhin erhalten, jedoch schwindet der bisher im Südwesten Deutschlands noch wirksame antizyklonale Einfluss vollends, so dass die Deutschland überquerenden Frontenzüge unseren Raum verstärkt erfassen und somit in allen Landesteilen für teils kräftige Niederschläge sorgen. Rückseitig einer abschließenden Kaltfront dringt Meeresluft polaren Ursprungs bis zu den Alpen vor, was dort unwetterartige Schneefälle verursacht. |
| Montag, den 14. Januar | NWz | |
| Dienstag, den 15. Januar | NWz | |
| Mittwoch, den 16. Januar | NWz | |
| Donnerstag, den 17. Januar | NWz | |
| Freitag, den 18. Januar | NWz | |
| Samstag, den 19. Januar | BM | |
| Sonntag, den 20. Januar | BM | Ein Zwischenhochkeil schiebt sich von Südfrankreich über den Alpenraum bis nach Süddeutschland vor. Die eingeflossene kalte Meeresluft kommt in unserem Raum dabei zur Ruhe und die Niederschläge lassen rasch nach. Im weiteren Verlauf verlagert sich das Bodenhoch nach Osteuropa. Ein Keil dessen erstreckt sich noch bis in den Osten Frankreichs. Frontensysteme werden blockiert. |
| Montag, den 21. Januar | BM | |
| Dienstag, den 22. Januar | BM | |
| Mittwoch, den 23. Januar | TrM | Ein kräftiger Kaltluftvorstoß von Grönland ausgehend über das Nordmeer Richtung Nordsee bzw. Mitteleuropa führt in der mittleren und höheren Troposphäre zur Bildung eines markanten Langwellentrog, der weite Teile Mitteleuropas erfasst und sich mit kurzer Unterbrechung wieder regeneriert. Deutschland gelangt in den Zustrom erwärmter Meeresluft polaren Ursprungs. Eingelagerte Frontensysteme bringen zeitweilige Niederschläge, die im Flachland teils Regen, gelegentlich auch Schnee, im höheren Bergland aber durchweg die feste Phase beinhalten. |
| Donnerstag, den 24. Januar | TrM | |
| Freitag, den 25. Januar | TrM | |
| Samstag, den 26. Januar | TrM | |
| Sonntag, den 27. Januar | TrM | |
| Montag, den 28. Januar | TrM | |
| Dienstag, den 29. Januar | TB | Bei den Britischen Inseln bildet sich auf Grund einer kräftigen Zyklonense ein steuerndes Tiefdruckzentrum. Dabei werden einzelne Randtiefs um dieses Zentrum nach Osten geführt. Die Zufuhr erwärmter Meeresluft polaren Ursprungs nach Deutschland setzt sich fort. |
| Mittwoch, den 30. Januar | TB | |
| Donnerstag, den 31. Januar | TB | |

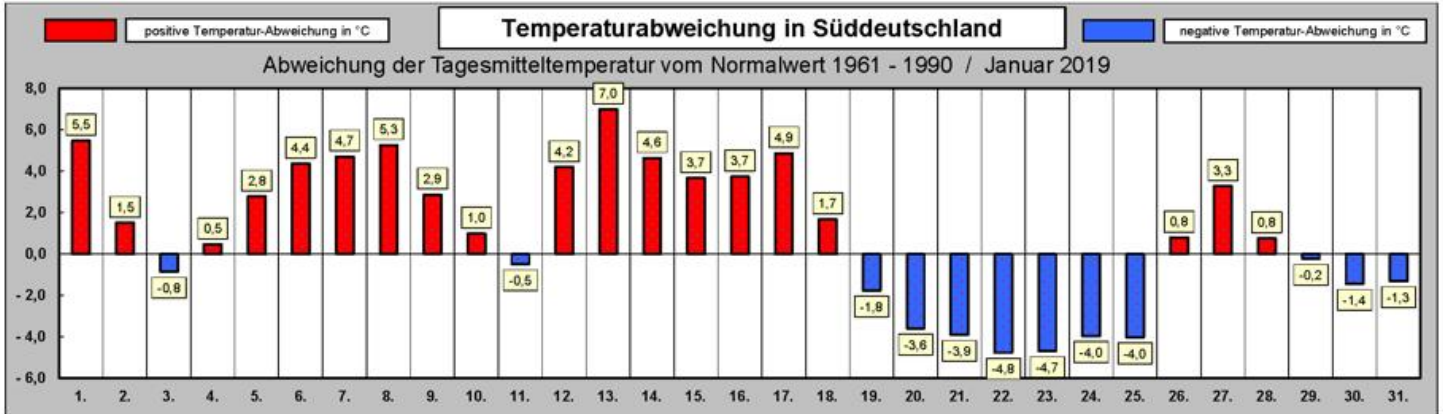
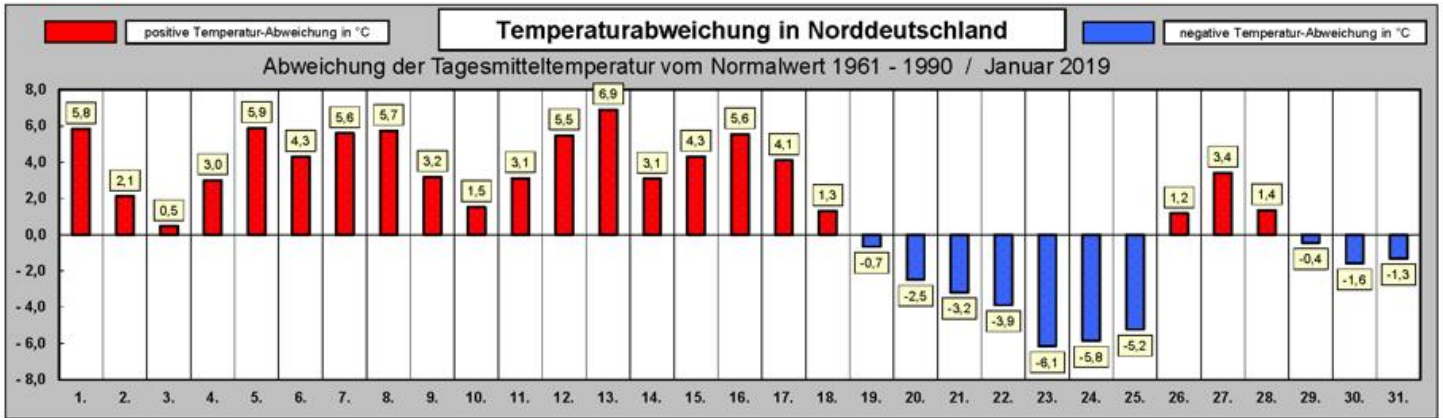
| Legende zur Großwetterlagen-Tabelle | | | |
|-------------------------------------|-------------|--|----------------|
| Nummer | Abkürzung | Großwetterlage | Farbe |
| 1 | Wa | Westlage, Mitteleuropa überwiegend antizyklonal | Hellgrün |
| 2 | Wz | Westlage, Mitteleuropa überwiegend zyklonal | Grelles Grün |
| 3 | WS | Südliche Westlage | Meeresgrün |
| 4 | WW | Winkelförmige Westlage | Grün |
| 5 | SWa | Südwestlage, Mitteleuropa überwiegend antizyklonal | Hellorange |
| 6 | SWz | Südwestlage, Mitteleuropa überwiegend zyklonal | Orange |
| 7 | NWa | Nordwestlage, Mitteleuropa überwiegend antizyklonal | Türkis |
| 8 | NWz | Nordwestlage, Mitteleuropa überwiegend zyklonal | Blaugrün |
| 9 | HM | Hoch Mitteleuropa | Weiß |
| 10 | BM | Hochdruckbrücke Mitteleuropa | Hellgrau 25% |
| 11 | TM | Tief Mitteleuropa | Grau 50% |
| 12 | Na | Nordlage, Mitteleuropa überwiegend antizyklonal | Blassblau |
| 13 | Nz | Nordlage, Mitteleuropa überwiegend zyklonal | Blau |
| 14 | HNa | Hoch Nordmeer-Inland, Mitteleuropa überwiegend antizyklonal | Himmelblau |
| 15 | HNz | Hoch Nordmeer-Inland, Mitteleuropa überwiegend zyklonal | Blaugrau |
| 16 | HB | Hoch Britische Inseln | Helltürkis |
| 17 | TrM | Trog Mitteleuropa | Dunkelgrau 80% |
| 18 | NEa | Nordostlage, Mitteleuropa überwiegend antizyklonal | Lavendel |
| 19 | NEz | Nordostlage, Mitteleuropa überwiegend zyklonal | Pflaume |
| 20 | HFa | Hoch Fennoskandien, Mitteleuropa überwiegend antizyklonal | Hellrosa |
| 21 | HFz | Hoch Fennoskandien, Mitteleuropa überwiegend zyklonal | Rosa |
| 22 | HNFa | Hoch Nordmeer-Fennoskandien, Mitteleuropa überwiegend antizyklonal | Hellgelb |
| 23 | HNFz | Hoch Nordmeer-Fennoskandien, Mitteleuropa überwiegend zyklonal | Dunkelgelb |
| 24 | SEa | Südostlage, Mitteleuropa überwiegend antizyklonal | Gelb |
| 25 | SEz | Südostlage, Mitteleuropa überwiegend zyklonal | Gold |
| 26 | Sa | Südlage, Mitteleuropa überwiegend antizyklonal | Gelbbraun |
| 27 | Sz | Südlage, Mitteleuropa überwiegend zyklonal | Rot |
| 28 | TB | Tief Britische Inseln | Braun |
| 29 | TrW | Trog Westeuropa | Dunkelrot |
| 30 | Ü | Übergangslage / Unbestimmt | Grau 40% |



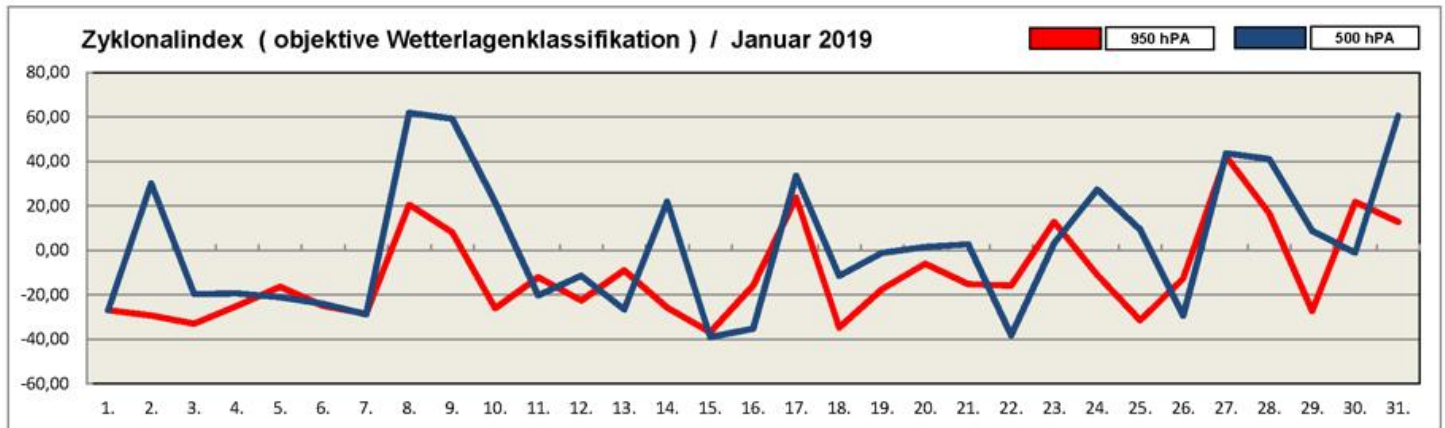
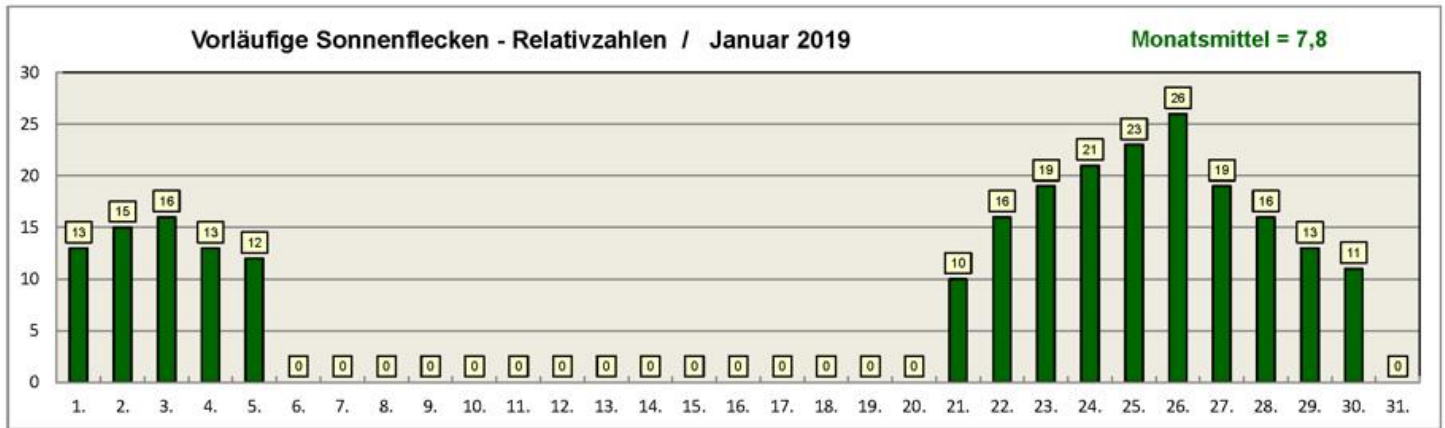
| Tag | Nord | Süd |
|-----|------|-----|
| 1. | 34 | 35 |
| 2. | 16 | 26 |
| 3. | 19 | 21 |
| 4. | 34 | 32 |
| 5. | 29 | 33 |
| 6. | 30 | 32 |
| 7. | 35 | 35 |
| 8. | 35 | 35 |
| 9. | 20 | 31 |
| 10. | 32 | 22 |
| 11. | 34 | 35 |
| 12. | 35 | 35 |
| 13. | 35 | 35 |
| 14. | 32 | 34 |
| 15. | 29 | 10 |
| 16. | 29 | 10 |
| 17. | 35 | 35 |
| 18. | 8 | 8 |
| 19. | 0 | 1 |
| 20. | 1 | 2 |
| 21. | 14 | 0 |
| 22. | 9 | 6 |
| 23. | 0 | 11 |
| 24. | 4 | 24 |
| 25. | 34 | 32 |
| 26. | 35 | 33 |
| 27. | 34 | 34 |
| 28. | 34 | 34 |
| 29. | 12 | 14 |
| 30. | 18 | 14 |
| 31. | 8 | 22 |

Anzahl der Stationen mit Niederschlag

Temperaturabweichung in Deutschland



Witterungsverlauf : Sonnenflecken und Zyklonalindex



| Stationen | Temperatur | Abweichung | Niederschlag | Abweichung | Sonnenschein | Abweichung | Luftdruck | Abweichung |
|------------------------|------------|------------|--------------|------------|---------------|------------|------------|------------|
| 10035 Schleswig | 2,0 °C | + 1,7 °C | 58,9 mm | 74,2 % | 50,4 Stunden | 121,2 % | 1010,8 hPA | - 3,2 hPA |
| 10113 Norderney | 3,6 °C | + 2,0 °C | 40,5 mm | 67,5 % | 42,7 Stunden | 93,6 % | 1012,6 hPA | - 1,3 hPA |
| 10147 Hamburg | 2,2 °C | + 1,7 °C | 64,3 mm | 105,1 % | 43,3 Stunden | 102,6 % | 1011,6 hPA | - 3,2 hPA |
| 10170 Rostock | 2,3 °C | + 2,1 °C | 30,0 mm | 65,2 % | 44,0 Stunden | 118,9 % | 1010,1 hPA | - 4,4 hPA |
| 10338 Hannover | 1,9 °C | + 1,3 °C | 59,4 mm | 113,8 % | 52,4 Stunden | 126,0 % | 1013,0 hPA | - 2,9 hPA |
| 10379 Potsdam | 1,1 °C | + 2,0 °C | 51,6 mm | 117,0 % | 58,2 Stunden | 123,6 % | 1011,6 hPA | - 5,0 hPA |
| 10410 Essen | 2,1 °C | + 0,2 °C | 111,6 mm | 138,1 % | 34,2 Stunden | 76,9 % | 1015,6 hPA | - 0,6 hPA |
| 10438 Kassel | 0,5 °C | + 0,7 °C | 99,7 mm | 165,1 % | 46,0 Stunden | 119,5 % | 1014,7 hPA | - 2,3 hPA |
| 10453 Brocken | -4,7 °C | - 0,5 °C | 355,8 mm | 190,9 % | 51,4 Stunden | 90,5 % | 1013,3 hPA | - 3,3 hPA |
| 10469 Leipzig | 1,1 °C | + 1,2 °C | 76,0 mm | 196,9 % | 54,6 Stunden | 120,3 % | 1013,0 hPA | - 4,3 hPA |
| 10496 Cottbus | 1,0 °C | + 1,8 °C | 62,1 mm | 171,5 % | 44,0 Stunden | 90,9 % | 1011,7 hPA | - 5,3 hPA |
| 10567 Gera | -0,1 °C | + 1,2 °C | 40,7 mm | 101,5 % | 55,1 Stunden | 90,2 % | 1013,8 hPA | - 4,1 hPA |
| 10609 Trier | 1,4 °C | + 0,5 °C | 47,8 mm | 79,9 % | 44,2 Stunden | 101,4 % | 1017,4 hPA | - 0,5 hPA |
| 10637 Frankfurt (Main) | 2,1 °C | + 1,4 °C | 42,3 mm | 96,6 % | 39,8 Stunden | 97,3 % | 1016,3 hPA | - 1,7 hPA |
| 10739 Stuttgart | 1,2 °C | + 0,7 °C | 67,2 mm | 179,2 % | 37,0 Stunden | 61,3 % | 1017,3 hPA | - 1,3 hPA |
| 10763 Nürnberg | 0,5 °C | + 1,3 °C | 48,8 mm | 108,0 % | 54,6 Stunden | 115,4 % | 1016,0 hPA | - 2,8 hPA |
| 10803 Freiburg | 1,8 °C | + 0,8 °C | 45,7 mm | 87,9 % | 38,7 Stunden | 74,1 % | 1018,8 hPA | - 0,4 hPA |
| 10870 München | -0,3 °C | + 1,9 °C | 45,3 mm | 100,4 % | 41,0 Stunden | 85,8 % | 1016,9 hPA | - 2,7 hPA |
| 10895 Passau | -1,2 °C | + 2,0 °C | 103,9 mm | 177,0 % | 45,5 Stunden | 78,6 % | 1015,9 hPA | - 4,0 hPA |
| 10961 Zugspitze | -14,4 °C | - 3,2 °C | 483,5 mm | 256,4 % | 110,2 Stunden | 94,8 % | 1018,3 hPA | - 2,1 hPA |

* Bei allen Abweichungswerten wird der aktuelle Monatsmittelwert dem 30-jährigen Mittelwert (climat-Wert) aus dem Zeitraum 1961 bis 1990 gegenüber gestellt !

| Stationen | Temperatur | Abweichung | Niederschlag | Abweichung | Sonnenschein | Abweichung | Luftdruck | Abweichung | |
|-----------|------------------|------------|--------------|------------|--------------|---------------|-----------|------------|-----------|
| 01026 | Tromsø | -4,6 °C | - 0,6 °C | 158,0 mm | 195,1 % | 6,0 Stunden | 200,0 % | 1001,3 hPA | - 3,1 hPA |
| 02935 | Jvaskylä | -10,3 °C | - 0,3 °C | 37,0 mm | 86,0 % | 20,0 Stunden | 76,0 % | 1004,4 hPA | - 7,4 hPA |
| 03005 | Lerwick | 3,7 °C | + 0,5 °C | 136,0 mm | 102,3 % | 38,0 Stunden | 172,7 % | 1009,2 hPA | + 2,5 hPA |
| 03091 | Aberdeen | 3,4 °C | + 0,7 °C | 47,0 mm | 58,0 % | 63,0 Stunden | 121,2 % | 1013,0 hPA | + 4,0 hPA |
| 03772 | London | 4,9 °C | + 0,7 °C | 33,0 mm | 63,5 % | 56,0 Stunden | 107,7 % | 1018,3 hPA | + 3,2 hPA |
| 04030 | Reykjavik | 0,5 °C | + 1,0 °C | 103,0 mm | 136,2 % | 37,0 Stunden | 137,5 % | 1007,1 hPA | + 6,9 hPA |
| 06260 | De Bilt | 3,5 °C | + 1,3 °C | 64,0 mm | 97,0 % | 57,0 Stunden | 121,3 % | 1015,3 hPA | + 0,3 hPA |
| 06447 | Brüssel | 3,0 °C | + 0,4 °C | 72,0 mm | 107,5 % | 38,0 Stunden | 78,2 % | 1016,5 hPA | + 0,4 hPA |
| 06590 | Luxemburg | 0,6 °C | + 0,6 °C | 51,0 mm | 71,8 % | 45,0 Stunden | 102,5 % | 1017,7 hPA | - 0,3 hPA |
| 06700 | Genf | 1,8 °C | + 1,0 °C | 43,0 mm | 53,8 % | 94,0 Stunden | 188,0 % | 1019,6 hPA | - 0,6 hPA |
| 06770 | Lugano | 5,1 °C | + 2,5 °C | 7,0 mm | 9,2 % | 149,0 Stunden | 125,2 % | 1013,8 hPA | - 5,3 hPA |
| 07149 | Paris | 4,0 °C | + 0,7 °C | 41,0 mm | 78,8 % | 37,0 Stunden | 66,1 % | 1019,3 hPA | - 0,3 hPA |
| 07222 | Nantes | 5,7 °C | + 0,3 °C | 33,0 mm | 37,9 % | 71,0 Stunden | 98,6 % | 1021,1 hPA | + 0,5 hPA |
| 07690 | Nizza | 8,0 °C | - 0,7 °C | 17,0 mm | 20,5 % | 197,0 Stunden | 131,3 % | 1012,0 hPA | - 6,4 hPA |
| 08221 | Madrid | 5,6 °C | + 0,1 °C | 18,0 mm | 42,9 % | 209,0 Stunden | 152,6 % | 1021,9 hPA | + 0,9 hPA |
| 08509 | Azoren (Lajes) | 15,3 °C | + 1,3 °C | 90,0 mm | 44,3 % | 65,0 Stunden | 62,5 % | 1025,2 hPA | + 9,6 hPA |
| 08535 | Lissabon | 11,4 °C | + 0,0 °C | 53,0 mm | 48,2 % | 195,0 Stunden | 135,4 % | 1023,1 hPA | + 2,3 hPA |
| 11035 | Wien | 0,8 °C | + 1,8 °C | 73,0 mm | 192,1 % | 60,0 Stunden | 92,3 % | 1013,5 hPA | - 6,0 hPA |
| 11150 | Salzburg | -0,5 °C | + 0,9 °C | 154,0 mm | 244,4 % | 46,0 Stunden | 65,7 % | 1016,7 hPA | - 4,0 hPA |
| 11518 | Prag | -0,6 °C | + 1,8 °C | 13,0 mm | 56,5 % | 48,0 Stunden | 88,9 % | 1013,7 hPA | - 5,1 hPA |
| 12205 | Stettin | 1,2 °C | + 2,3 °C | 48,0 mm | 133,3 % | 30,0 Stunden | 90,9 % | 1010,2 hPA | - 5,3 hPA |
| 12375 | Warschau | -1,7 °C | + 1,6 °C | 34,0 mm | 154,5 % | 28,0 Stunden | 80,0 % | 1010,2 hPA | - 7,4 hPA |
| 12843 | Budapest | 0,0 °C | + 1,6 °C | 26,0 mm | 81,3 % | 84,0 Stunden | 135,5 % | 1013,2 hPA | - 6,7 hPA |
| 13274 | Belgrad | 0,8 °C | + 0,4 °C | 82,0 mm | 167,3 % | 81,0 Stunden | 114,1 % | 1013,6 hPA | - 6,7 hPA |
| 15420 | Bukarest | -1,4 °C | + 1,0 °C | 61,0 mm | 152,5 % | 46,0 Stunden | 65,2 % | 1012,3 hPA | - 8,1 hPA |
| 15614 | Sofia | -1,0 °C | + 0,6 °C | 33,0 mm | 122,2 % | 68,0 Stunden | 86,1 % | 1013,3 hPA | - 8,4 hPA |
| 16597 | Malta (Luqa) | 11,6 °C | - 0,6 °C | 99,0 mm | 111,2 % | 174,0 Stunden | 109,4 % | 1013,0 hPA | - 5,2 hPA |
| 16714 | Athen | 9,2 °C | - 0,1 °C | 114,0 mm | 259,1 % | 148,0 Stunden | 104,2 % | 1009,9 hPA | - 7,5 hPA |
| 17116 | Bursa | 6,7 °C | + 1,5 °C | 82,0 mm | 91,1 % | 50,0 Stunden | 51,5 % | 1011,9 hPA | - 7,4 hPA |
| 22550 | Archangelsk | -12,8 °C | + 1,7 °C | 59,0 mm | 184,4 % | 12,0 Stunden | 92,3 % | 1003,8 hPA | - 7,7 hPA |
| 27595 | Kasan | -10,3 °C | + 2,7 °C | 45,0 mm | 136,4 % | 14,0 Stunden | 28,6 % | 1016,7 hPA | - 3,7 hPA |
| 34300 | Charkow | -5,2 °C | + 1,7 °C | 58,0 mm | 131,8 % | 39,0 Stunden | 76,5 % | 1014,2 hPA | - 6,2 hPA |